

堰下流底面剪断力に関する研究

建設省九州地建 元局長 現 K.K. 鴻池組 正員 秋竹敏実
建設省九州地建 松原下筌ダム工事 正員 田津幹郎

S 1. 概説

従来より掃流力に関する研究は、限界掃流力を中心とした理論的、実験的研究がなされてきたが、その内容は主として、この限界掃流力と砂礫の粒度などの関係を取扱ったものが多く、その文献は言つに漏れない。しかしながら、これらの研究の展開とも言うべき構造物との組合せは、例えば、堤あるいは水門、床固めなどの下流部に生ずる掃流力は、はじめてどの程度のものが生ずるか、といった事柄は、なお検討を要する分野である。即ち、堤下流部などの処理に關して、水叩きなど護岸工の長さの決定に対するこの面からの配慮は、その複雑な水理現象のために、解析的な研究は充分行はれていない。従って、従来この種の長さの決定に対しては、既設構造物の分析結果に基くとか、あるいは、Bligh⁽¹⁾、Leliauskay⁽²⁾などの方法を用いているに過ぎない。

最近のわが國におけるこの種の研究として、南氏⁽³⁾、土産氏⁽⁴⁾の研究が注目されるが、なお一般的な方法は導かれていない現状である。

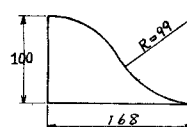
こゝに本研究は堤下流部の水理機構、特に底面剪断力分布を定量的に把握するためには、模型実験を行ない、これをして、前述の問題点の一部を明らかにすることを試みた。即ち、本研究の第一の目的とする堤下流底面剪断力分布は、その変動要素として、① 堤体の形状、② 堤高 ③ 下流の粗度係数、河床勾配といった河道要素、などによって異ってくることに着目し、これらが流量の増減に応じてどのような関連を示すか、また流水が先ず潜流より波状跳水に移行することによって底面剪断力が不連続に減少するところに着眼し、河道要素と危険流量との関係、洗掘防止上有利な堤形状、及び保護工の長さなど、堤下流部処理に關する設計上の重要事項を明らかにしたものである。

S 2. 堤下流底面剪断力に関する実験及び解析

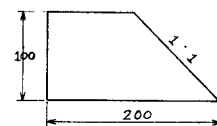
- (1) 実験装置及び実験方法：実験水路は $60 \times 100 \times 1524 \text{ cm}$ の合成樹脂製の滑面直線水路で $1/100$ の勾配をもつ。実験に用いた堤は図-1に示す A型、B型、C型の3種でいずれも堤高 10 cm の木製表面はペイント塗装。本実験による測定諸値は往復流量、往復下流水位における堤下流各点の水位及び底面流速であるが、流量は水路下流側に設けたパーシャルフリュームにより、水位はポイントゲージにより、また流速はピトー管マノメーターを使用して測定を行ない、併せて流況測定（跳水、潜流、波状跳水の現象測定）を行なった。

- (2) 流量： $10 \sim 110 \text{ l/sec}$ の範囲で、約 10 l/sec の間隔で測定。
 (3) 水位：図-2に示す水位 (H_0 , H_1 , H) を測定したが、 H_2 は測定値 H_1 より水平路よりける跳水公式を用いて算出。
 (4) 底面流速；表-1に示す各点で底面流速を精密に測定。

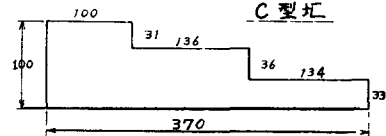
図-1 堤体の形状
(単位 mm)



A型堤

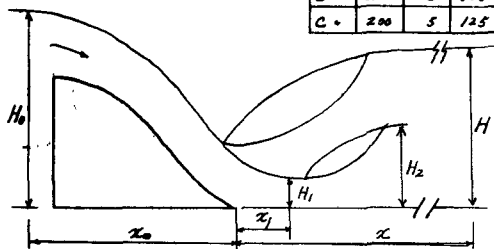


B型堤



C型堤

図-2 測定水位 及び位置

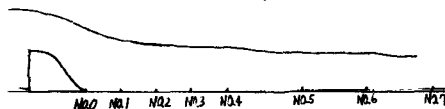


	x_0	x_1	x	単位 cm
A型	200	15	150	
B型	200	5	125	
C型	200	5	125	

表-1. 水面流速測定実験

測定	No.0	No.1	No.2	No.3	No.4	No.5	No.6	No.7
A型	0	10	20	25	50	75	100	125
B型	0	5	10	30	50	75	100	125
C型	0	10	20	30	50	75	105.5	125

(下流端より左) 単位 cm



(2). 実験結果：本実験のデータを整理するにあり、π定理による次元解析を行つた。実験による方程式を $f(H, W, L, g, f, u, q) = 0 \quad \dots \dots \dots \quad (2)$

[$\therefore H$: 水深, W : 坎の高さ, L : 坎下流の距離, g : 水の密度, f : 重力の加速度]
 U : 底面流速 q : 単位中流量

とし、 g , H , f と他の量に対する従属係数とするとき式は

$$f(\pi_1, \pi_2, \pi_3, \pi_4) = 0 \quad \dots \dots \dots \quad (2) \quad \text{と表わされ、これらを解くと}$$

$$\pi_1 = H/W, \quad \pi_2 = H/L, \quad \pi_3 = g^2/H^3, \quad \pi_4 = U^2/U_*^2$$

となるが、4つの係数となるので、距離の項 π_2 を一定としたパラメータ $-H/W$ とり、剪断力の測定値と取つた各実験において、 π_3, π_4 の関係をプロットし、関数 q の性質を探りあらわせた。なお π_3 はフルード数の項である。) ここで解析上、水位の項 H は、 H/W の項のみ下流水深となり、他は底流水深 H_1 をとって、 q , U にて表示した。従つて $H/W, F_r, U_* / U_1$ をもって関数 $q = 0$ を表わすこととする。

A型坎について、No.0 地点(坎直下の地盤)での $H/W \sim F_r \sim U_* / U_1$ の関係をその一例として図-3 に示す。

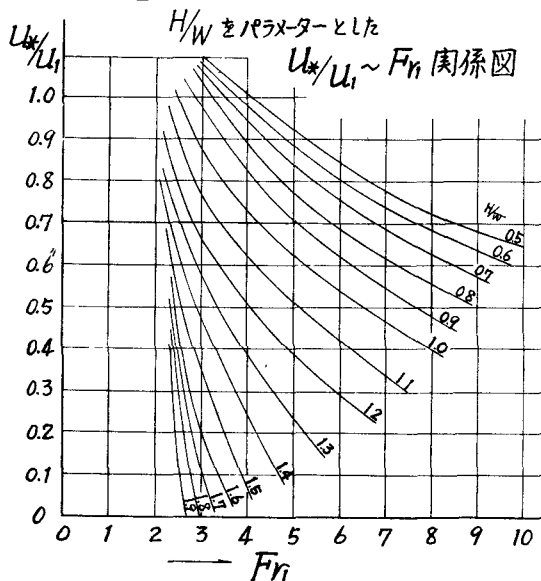
(3). 実験結果に基づく解析； 坎下流各実験の底面速度 U_* は、坎下流部の常流状態の境界条件(水位～流量曲線)を与えることによって求まる。そこで実際の河川に適用せらるためには、坎下流部の境界条件をパラメーターとした底面速度、底面剪断力の関係を図示するよう試みた。即ち坎下流部の境界条件と取る水位、流量の関係は次式で与えられる。

$$g = 1/n \cdot I^{1/2} \cdot H^{5/3}$$

$$= \alpha \cdot H^{5/3} \quad \dots \dots \dots \quad (3)$$

$\therefore \tau \cdot g = m^3/sec/m, n$; マンニングの

図-3 A型坎. 測定No.0



粗度係数, I : 水面勾配 = 河床勾配

$$\alpha, \text{ 俠林: 河道要素 } = \frac{1}{n} I^{1/2}$$

粗度係数と河床勾配との関係は、九州の主要河川について調べると、大畠、図-4で表わされ、これより $\frac{1}{n} I^{1/2}$ の値は、概ね 0.7 ~ 1.6 の範囲で示される。それ以上高は本実験の低落差堤としての適用から考えると 4 ~ 5 m が限度と思われる。

これらの二つから、一般河川への設計に供するためには、表-2 に示す組合せで、相似律を考慮して、検討を行つた。その結果の一例を図-5~7 に示す。

表-2

	組合せ $4 \times 4 = 16$ 通り
堤高: W	1m, 2m, 3m, 4m
河道要素 ($\alpha = \frac{1}{n} I^{1/2}$)	0.8, 1.0, 1.2, 1.4

図-4 九州の主要河川の
粗度係数 (n) ~ 河床勾配 (I) 関係図

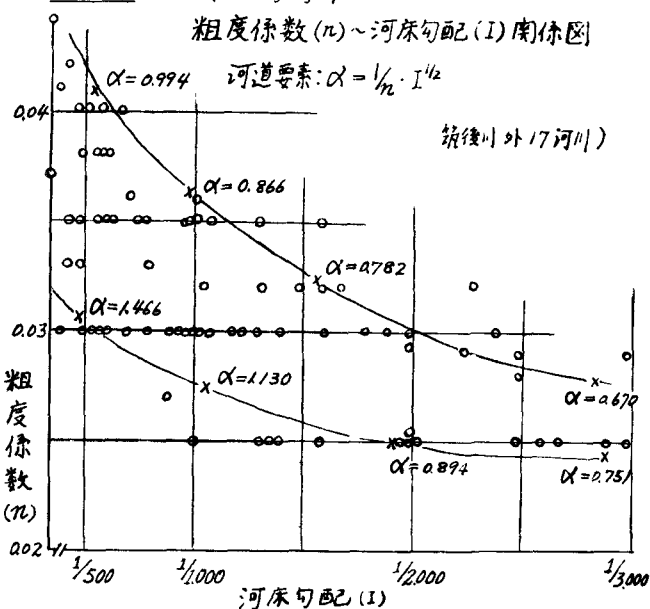


図-5 A型堤, 河道要素 $\alpha = 1.0$

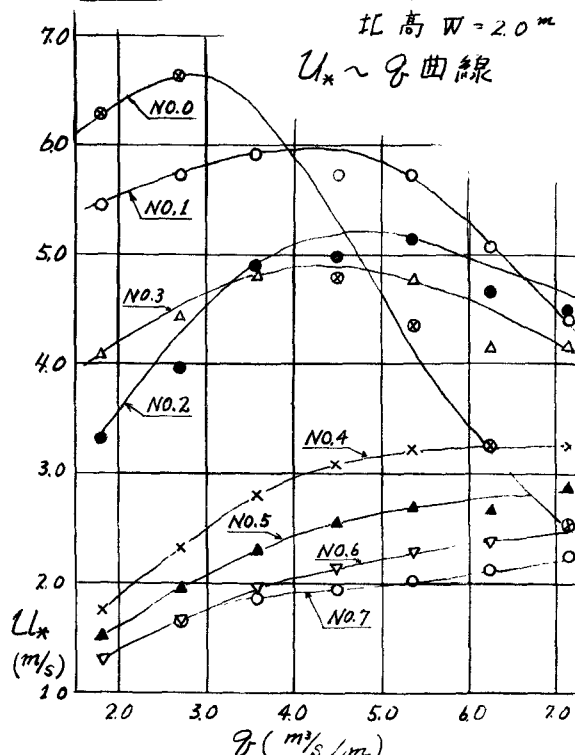
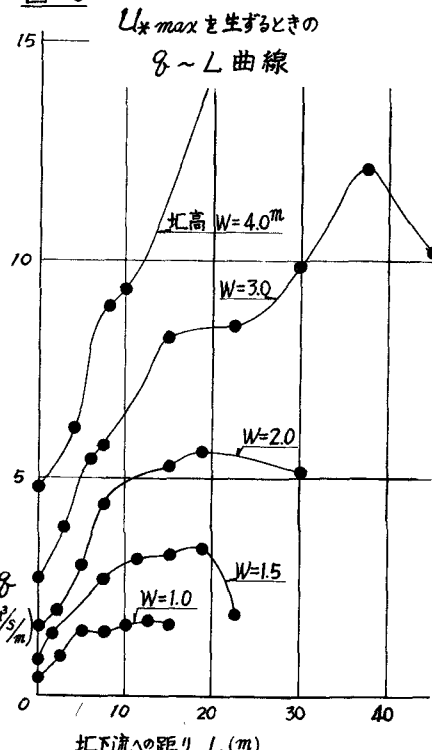
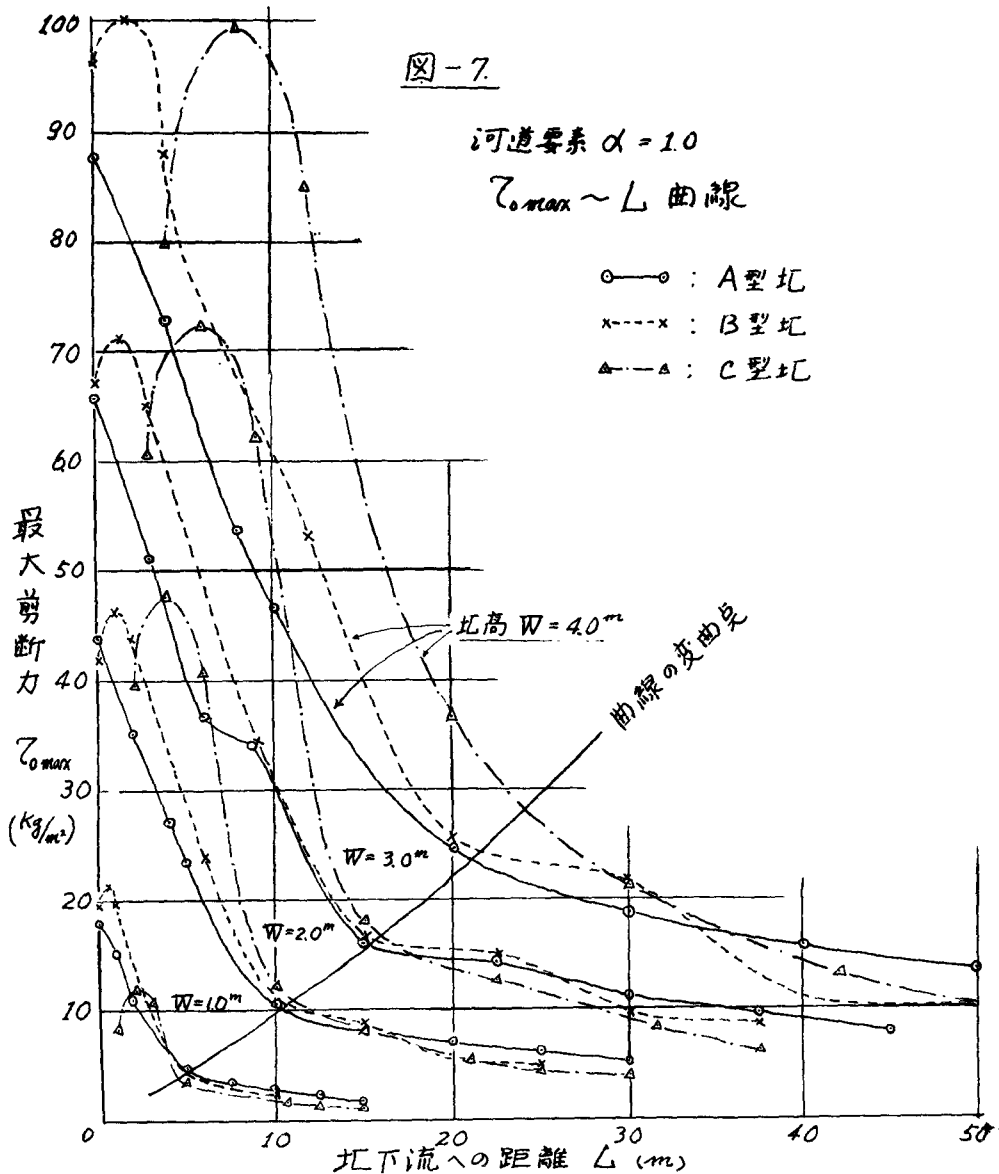


図-6 A型堤, $\alpha = 0.8$





§3. 考察及び結論

(1). 結論: ①剪断力の最大値はA, B, C型堤いずれも水叩き始点は近であらわれる。A型堤が最も上流側に生じ、次いでB, C型堤の順で下流側へ移行する。また、いずれも流量と剪断力とは相関性はない。即ち、ある流量のときには最大剪断力を示す。最大剪断力を示す流量は堤下流の距離に比例して増加するが、剪断力値は減少の傾向を示す。従って、一般的に出水時の洗掘は堤直下より次第に下流にあがり、その洗掘複合は漸次減少の傾向を示すと解される。

②最大剪断力分布曲線はA, B, C型堤とも、堤高の約5倍の地表（例えば、堤高2mの場合、堤下流約10mの地表）で変曲点を見出す。本曲線はこの変曲点より上、下流に分けて、上流側はC, B

A型堤の順位、剪断力は減少の傾向を示す。即ち、堤下流の河道の境界条件とは無関係に、変曲点より上流側の A, B, C 型堤の順位が大きいが、この区间は航行部と推進され、強固な保護工、例えはコンクリート水叩きなどが必要である。従って、堤型別の優劣は、変曲点より下流の水理現象によって判断するに至り、剪断力が小さい C, B, A 型の順位が大きいと定めることができます。

③変曲点を水叩きの終点とした場合、その所要高さを考えれば、堤高が小さくなるときは、C, B, A 型の順位有利であり、堤高が大きくなる従って逆の傾向を示す。

④水叩き下流の保護工の在りは、河床材料の粒度との関連によって決定されるわけであるが、最大剪断力分布曲線図（図々 12.7 の一例）の作成によって、今後の堤下流処理に関する設計指針を提案することができた。

(2). 堤形状の比較：A型堤 ①剪断力の最大値は、流量がほど大きくないときは、堤下流地盤で生じ、流量の増加につれて、下流側へ移行するが、その値は等差的に減少する。 ②変曲点より下流側の剪断力分布は、堤高の変化によつてその傾向を異にする。 ③A型堤は比較的 B型堤に類似の傾向を示すが、特に河道要素、 α が大なる程、その難航性が高い。

B型堤・①剪断力分布、最大剪断力を生ずる流量などの関係は A型堤に似て傾向を示すが、全般的には剪断力は A型堤より大きな値を示す。 ②堤高及び河道要素が大なるほど従い変曲点は不明確になる。

C型堤・①最大剪断力を生ずる各段の流量は、河道要素が小さい場合、ほど一定流量に近い。

②剪断力分布曲線は A, B 型堤のいずれにも類似せず、変曲点より上流側は、A, B 型の剪断力より相対大きな値を示すが、下流側にいくる従い、剪断力の減少は顕著である。この傾向は堤高が小なる程、大きい。

(3). 本論法に基く破壊堤への適用：実験の破壊した堤について、破壊時の流量より U_0 と推算し、

先に作成された最大剪断力分布曲線の特性と適用して、堤の破壊地盤を推定したこと、表-3 の如きで、次の結果が得られた。

①破壊の位置は、実験結果で得られる地盤と概ね一致する。 ②破壊地盤は最大剪断力分布曲線の変曲点の手前で、全く発生している。

表-3

No.	堤名	堤の形状	堤高 m	相應 保証 U_0	河床 勾配 α	河道 要素 U_0 T_c	破壊時 U_0	測定 推算
1	伊田堤	A	1.60	0.033	1/300	1.55	3.30	10.9 10.0 7.0
2	島田堤	B	1.50	0.044	1/500	1.02	3.40	11.6 5.0 5.0
3	柿原堤	B	2.00	0.044	1/600	1.14	3.30	10.9 10.0 12.0
4	岩瀬堤	B	2.10	0.044	1/400	1.14	3.70	12.7 0.10 9.0
5	一作堤	B	1.30	0.033	1/300	1.35	3.20	10.2 0~9.0 7.6
6	新花井堤	C	1.50	0.025	1/2000	0.89	5.20	27.0 7.5 2.0
7	寒風堤	C	2.67	0.030	1/1950	0.90	5.80	33.6 11.0 11.0

あとがき

実験を通じて、堤下流の底面剪断力分布を主とする水理現象が把握されたが、水叩き下流の処理に関しては、限界揚流力理論との関連においては計算を要する点が残されており、これらは今後の課題である。また護床よりみた各種保護工の耐用度、剪断強度などを研究する必要があると考える。

参考文献

- (1). Bligh W G : Dams and Weirs American Technical Society, Chicago 1918 (2). Leibansky, S : Irrigation and Hydraulic Design Vol 1 Chapman and Hall, London 1955 (3). 南野：越流堤下流の洗刷保護工事に関する Bligh 公式の検討、12 社流理論による水理計算、岩土研 24 卷第 1 号、第 4 号。
- (4). 土木学会；水門下流部における洗刷限界に関する研究、土木学会論文集 第 92 号、92-37.